

ارزیابی کارایی نانوکمپلکس AJc-F در ارتقای ایمنی زایی واکسن هپاتیت ب

فرانک خرازی^۱، مجتبی داربویی^۲، مهدی مهدوی^۳، محمد حسن نظران^۴

^۱ گروه میکروبیولوژی، دانشگاه آزاد اسلامی، واحد علوم تحقیقات فارس

^۲ دکترای ژنتیک مولکولی، گروه میکروبیولوژی، دانشگاه آزاد اسلامی، واحد علوم تحقیقات فارس

^۳ استادیار، دکترای ایمونولوژی، گروه ویروس شناسی، انسستیتو پاستور ایران

^۴ کارشناس الکترونیک نانوتکنولوژی، واحد توسعه و تحقیقات، شرکت صدور احرار شرق

چکیده

سابقه و هدف: شیوع ابتلا به بیماری هپاتیت ب، وجود جمعیت‌های غیر پاسخگو به واکسن موجود و ضعف ادجوانت کلاسیک آلوم در القای پاسخ ایمنی سلولی نشان دهنده ضرورت طراحی واکسن‌های کاراتر می‌باشد. بررسی‌های متعددی بر هم کنش عنصر آهن و سیستم ایمنی را به اثبات رسانده‌اند. در بررسی حاضر، اثرات دو ساختار محتوى آهن، شامل سولفات آهن و نانوکمپلکس AJc-F را بر ارتقای ایمنی زایی واکسن هپاتیت ب مورد ارزیابی قرار دادیم.

روش بررسی: در این مطالعه تجربی، به موش‌های C57BL/6J در سه دوره واکسن هپاتیت B تزریق گردید. به یک گروه همراه با واکسن نانوکمپلکس AJc-F و به گروه دیگر سولفات آهن تزریق شد. پاسخ تکثیری ضد Ag HBS HBSAg لتفوسيت های طحالی با روش BRDU و سطح کلی آنتی بادی اختصاصی ضد Ag HBS HBSAg اینترلوکین ۴ و اینترفرون گاما با روش الیزا ارزیابی شد. آنالیز آماری داده‌ها با نرم افزار SPSS نسخه ۱۶ انجام گردید.

یافته‌ها: نانوکمپلکس AJc-F سطح کلی آنتی بادی اختصاصی ضد Ag HBS HBSAg و سیتوکین‌ها را نسبت به گروه سولفات آهن و کنترل به شکل معنی‌داری افزایش داد. سولفات آهن موجب کاهش شدید سطح آنتی بادی واکسن هپاتیت B نسبت به گروه کنترل گردید. هر دو ترکیب تکثیر لتفوسيتی و سطح اینترفرون گاما را نسبت به گروه کنترل افزایش دادند.

نتیجه‌گیری: یافته‌های این تحقیق نشان می‌دهد که نانوکمپلکس AJc-F به عنوان ساختار محتوى آهن می‌تواند سطح ایمنی سلولی و هومورال را در واکسن هپاتیت بی به شدت ارتقا دهد.

واژگان کلیدی: ادجوانت، نانو تکنولوژی، واکسن هپاتیت ب، آهن.

مقدمه

اصول‌هندف واکسیناسیون ایجاد پاسخ ایمنی قوی برای ایجاد حفاظت طولانی مدت علیه عفونت است. به طور کلی واکسن‌ها، عمدها شامل فرمولاسیون‌های متعددی از جمله پاتوژن‌های زنده ضعیف شده، پاتوژن‌های کشته شده و واکسن‌های زیر واحدی می‌باشند (۱).

واکسن هپاتیت ب نیز از دسته آخر (واکسن‌های زیر واحدی) است که محتوى HbsAg، آنتی زن سطحی ویروس هپاتیت B می‌باشد. برای رسیدن به ایمنی زایی کافی، برخلاف واکسن‌های زنده ضعیف شده، عموماً ارگانیسم کامل کشته شده یا

ویروس هپاتیت ب عامل مهم ایجاد بیماری‌های کبد و از جمله سلطان کبد در انسان می‌باشد. واکسیناسیون افراد در معرض خطر، مانند کادر بیمارستانی، با آنتی زن سطحی ویروس (HBsAg) به عنوان مهم‌ترین استراتژی برای پیشگیری و همچنین کنترل عفونت هپاتیت ب معرفی گردیده است.

Nanochelating واکسن‌های هپاتیت ب شدیم. این ساختار، به شکل بنیادین در ابعاد نانو طراحی شده است و به دلیل نقش انکارناتپذیر یون آهن بر سیستم ایمنی، در این نانوکمپلکس یون آهن به کار گرفته شده است. قرار گیری ابعاد کمپلکس مورد نظر در مقیاس نانو در کنار ساختار ویژه آن ترکیبی را شکل داده است که به نظر می‌رسد قابلیت اثرگذاری هدفمند بر سیستم ایمنی را داشته باشد. در مطالعه حاضر برای اولین بار اثر AJc-F بر افزایش کیفیت واکسن هپاتیت B مورد ارزیابی قرار گرفته است و با سولفات آهن مقایسه شده است. ادجوانات فوق محلول در آب بوده و در مطالعه حاضر به صورت مخلوط شده با واکسن موجود هپاتیت ب به حیوانات تزریق شده است. در نهایت جهت بررسی دقیق کارایی این ساختار بر سیستم ایمنی پارامترهای متعددی از ایمنی همورال و سلولی مورد ارزیابی قرار گرفته است.

مواد و روشها

نانو کمپلکس AJc-F

این نانوکمپلکس بر اساس تکنولوژی Nanochelating (ثبت شده در اداره ثبت اختراعات و علامات تجاری آمریکا، USPTO) به شماره ی (US20120100372A1) سنتز شده است.

حیوانات

در این مطالعه تجربی، از ۳۰ موش بالب سی نر ۶-۸ هفتاهی استفاده شد. یک هفته قبل از شروع آزمایش موش‌ها به اتاق حیوانات منتقل شدند. در طول مدت نگه داری دسترسی آزاد به آب و غذا داشتند و سیکل روشنایی و تاریکی (۱۲ ساعت روشنایی و ۱۲ ساعت تاریکی) تنظیم شده بود.

گروه بندی

حیوانات به ۳ گروه تقسیم شدند: گروه کنترل (واکسن)، گروه AJc-F + واکسن (با دوز ۴۰۰ میکروگرم بر کیلوگرم)، و گروه سولفات آهن (با دوز ۴ میکروگرم بر کیلوگرم) (جدول ۱). دوز سولفات آهن بر اساس میزان آهن موجود در ساختار Ajc-F تعیین گردید تا مقایسه تیمارها بر مبنای مقادیر یکسان از عنصر آهن باشد.

پروسه ایمنی زایی

گروه‌های تجربی سه بار و به فاصله دو هفته در روزهای ۰، ۱۴ و ۲۸ با دوز $10 \mu\text{g}$ HBs / mice تحت تزریق داخل صفاقی قرار گرفتند. دو هفته پس از آخرین تزریق ارزیابی پاسخ‌های ایمنی در گروه‌های تجربی انجام شد.

واکسن‌های زیر واحدی برای تاثیر گذار بودن، نیاز به افزودن یک ادجوانات موثر و بی‌خطر دارند (۲، ۳). واژه ادجوانات به معنی کمک یا افزایش، از کلمه لاتین adjuvare مشتق شده است (۳) ادجوانات‌ها ترکیباتی هستند که واکنش ایمنی علیه آنتیژن‌ها را ارتقاء می‌دهند (۲). در حقیقت ادجوانات‌ها موجب افزایش میزان عرضه آنتیژن و پایداری آن شده و یا به عنوان یک تعدیل کننده سیستم ایمنی عمل می‌کنند. در یک دسته بندی ترکیبات محرک ایمنی را در ۳ دسته ادجوانات‌ها، ناقل‌های غیر زنده و حامل‌ها تقسیم‌بندی می‌شوند. از ادجوانات‌های شناخته شده می‌توان به نمک‌های آلومینیوم و ساپونین، از حامل‌ها به اسیدهای چرب و کتورهای زنده و از ناقل‌ها به امولیسیون‌های روغنی اشاره نمود (۴).

مشاهده شده است که حدود ۱۰٪ از افراد سالم واکسینه شده با واکسن هپاتیت ب پاسخ ایمنی مناسبی بر علیه واکسن از خود نشان نمی‌دهند. این پدیده که به عنوان non-responding تلقی می‌شود، در بیماران دیابتی و یا دیالیزی نیز دیده شده است. اگر چه ادجوانات به کار گرفته شده در این واکسن آلوم می‌باشد، اما اعتقاد بر این است که ممکن است بهینه سازی ادجوانات موجب برطرف شدن این مشکل گردد. ادجوانات شناخته شده آلوم به خوبی قادر است پاسخ ایمنی از نوع هومورال (TH2) را برانگیزد، اما در القای پاسخ ایمنی سلولی (TH1) که برای مقابله با بسیاری از پاتوژن‌ها ایمنی دارد فاقد کارایی است (۲) و به همین دلیل ارتقای ایمنی سلولی به واسطه ادجوانات‌های گوناگون بسیار مورد توجه قرار گرفته است. در این راستا تحقیقات متعددی جهت طراحی و ساخت ادجوانات‌هایی با ایمنی زایی بهتر انجام گرفته است.

پژوهش‌های گوناگون نشان می‌دهد که متابولیسم عناصر ریز مغذی مانند آهن، سلنیم و ... بر عملکرد سیستم ایمنی اثرگذار است، به شکلی که کمبود و یا اضافه بار این عناصر می‌تواند موجب اختلال در واکنش‌های دفاعی علیه بیماری‌ها و یا ایمنی‌زایی بعد از استفاده از واکسن گردد (۵، ۶). از این رو ساختارهایی که بتوانند بر هوموستاز عناصر ریز مغذی در بدن اثر بگذارند قادر خواهند بود سیستم ایمنی را نیز تحت تاثیر خود قرار دهند. از این رو این فرضیه مطرح شده است که با استفاده از این ساختارها می‌توان سیستم ایمنی را تقویت نموده و پاسخ‌دهی به واکسن را با استفاده از اثر شبه ادجواناتی آنها افزایش داد.

با تلفیق تکنولوژی نانو و Chelating برای اولین بار موفق به ساخت نانوکمپلکسی با نام AJc-F بر اساس تکنولوژی

کارایی نانوکمپلکس AJc-F در ایمنی زایی واکسن هپاتیت ب

نمونه از آن با رنگ تریپیان بلورنگ شده و به کمک لام نئوبار شمارش گردید و درصد سلول های زنده مشخص شد و در نهایت در محیط RPMI-1640 کامل به تعداد 3×10^6 سلول در میلی لیتر سوسپانسیون شده و جهت انجام آزمایش های بررسی پاسخ های ایمنی مورد استفاده قرار گرفت.

بررسی پاسخ های تکثیری لنفوسيت ها به روش BRDU از سوسپانسیون های سلولی 3×10^6 cell/ml به مقدار ۱۰۰ میکرولیتر معادل 3×10^5 cell/ml در هر حفره پلیت ۹۶ خانه ای کشت داده شدند. ۱۰۰ میکرولیتر محیط کشت کامل حاوی آنتی زن HBsAg با غلظت $10 \mu\text{g}/\text{ml}$ به حفره های آنتی زن مثبت (غلظت نهائی آنتی زن ۵ میکروگرم در میلی لیتر شده است) و ۱۰۰ میکرولیتر محیط کشت کامل فاقد آنتی زن به حفره های آنتی زن منفی به عنوان کنترل مطالعه افزوده شد. حجم نهایی تمام حفرات ۲۰۰ میکرو لیتر بود و پس از کشت ۷۲ ساعته در انکوباتور ۳۷ درجه و ۵ درصد CO_2 به هر حفره ۲۰ میکرولیتر از BrdU به رقت ۱:۱۰۰ اضافه گردید و ۱۸ ساعت در انکوباتور ۳۷ درجه و ۵ درصد CO_2 قرار داده شد. پس از انکوباسیون پلیت ها در دور 300 g به مدت ۱۰ دقیقه سانتریفیوژ شد و سپس به کمک سمپلر به آرامی محیط کشت از چاهک ها برداشته شد و پلیت ها با ششوار به مدت ۴۰ دقیقه خشک گردید. ۲۰۰ میکرولیتر بافر Fix/Dent Fix به هر حفره افزوده شد و پلیت ها ۳۰ دقیقه در دمای اتاق قرار گرفتند. محتويات داخل چاهک ها تخلیه و ۱۰۰ میکرولیتر Anti-BrdU-HRP به رقت ۱:۱۰۰ اضافه گردید. ۲ ساعت در دمای ۳۷ درجه قرار گرفتند. پس از طی زمان لازم محتويات داخل چاهک ها تخلیه و با بافر PBS، چهار مرتبه شستشو داده شدند. ۱۰۰ میکرولیتر سوبسترا TMB به هر حفره اضافه شد و بعد از ۳-۵ دقیقه با استفاده از محلول H_2SO_4 واکنش متوقف و جذب نوری پلیت ها با دستگاه الایزا ریدر در طول موج ۴۵۰ نانومتر قرائت گردید و نتایج بر اساس اندیکس تحریک (جذب حفرات تحریک نشده / جذب حفرات تحریک شده) محاسبه گردید.

بررسی الگوی سایتوکاینی

از سوسپانسیون های سلولی 3×10^6 cell/ml به مقدار ۱ میلی لیتر در هر حفره پلیت ۲۴ خانه ای کشت داده شدند. ۱۰۰ میکرولیتر محیط کشت کامل حاوی $5 \mu\text{g}$ آنتی زن اضافه شد. پلیت ها در دمای ۳۷ درجه سانتی گراد و در حضور $5\% \text{ CO}_2$ به مدت ۷۲ ساعت انکوبه شدند. سانتریفیوژ نمودن در 300 rpm به مدت ۱۰ دقیقه سپس محلول رویی هر چاهک به

جدول ۱- گروه های مورد مطالعه

گروهها	مدخله ای انجام شده
گروه واکسن (کنترل) هفته	۲ بار تزریق واکسن تجارتی هپاتیت بی به فاصله ۵ دو هفته
AJc-F	۲ بار تزریق واکسن تجارتی هپاتیت بی به همراه ۴۰۰ میکرو گرم بر کیلو گرم به فاصله ۵ دو هفته
گروه سولفات آهن	۲ بار تزریق واکسن تجارتی هپاتیت بی به همراه ۴۰۰ میکرو گرم بر کیلو گرم به فاصله ۵ دو هفته

جمع آوری نمونه ها

جهت خون گیری، دو هفته پس از آخرین واکسیناسیون موش ها با استفاده از پی پت پاستور از گوش داخلی چشم آنها خون گیری شد و در اپندراف جمع آوری گردید. جهت جداسازی سرم ابتدا خون یک ساعت در دمای اتاق قرار گرفت تا لخته گردید سپس با استفاده از پی پت پاستور لخته بازشد و در دور 12000 rpm به مدت ۱۵ دقیقه سانتریفیوژ شد. سرم حاصل با سمپلر به اپندراف دیگر منتقل و باز دیگر سانتریفیوژ شد و درنهایت سرم عاری از لخته جدا و دمای ۲۰-درجه سانتی گراد نگه داری شد.

تهیه سوسپانسیون طحالی

برای جداسازی سلول های طحال موش، ابتدا موش ها نخاعی شده و برای چند ثانیه در الکل اتانول ۷۰ درصد قرار گرفتند. موش از قسمت راست بدن روی تخته جراحی در زیر هود تحت شرایط استریل قرار داده شد و به کمک قیچی استریل پوست موش برش داده شد. پس از کنار زدن پوست شکم پرده صفاقی را قیچی نموده و با پنس استریل، طحال را از بافت های مجاور مجزا کرده و با قیچی آن را از چربی های اطراف جدا نموده و در پلیت استریل درون بافر PBS حاوی ۲ درصد FBS سرد قرار داده شد. طحال با کمک ته سرنگ به آرامی له گردیده و به کمک پی پت پاستور چندین بار پیپتاش نموده و سوسپانسیون سلولی به داخل لوله فالکون ریخته شد و در ۴ درجه سانتی گراد با دور 300 g به مدت ۵ دقیقه سانتریفیوژ گردید. به رسوب به دست آمده بافر لیز کننده گلbul قرمز به حجم 5 ml اضافه نموده و به مدت ۵ دقیقه در مجاورت یکدیگر بودند. در این مدت گلbul های قرمز لیز گردید. جهت خارج نمودن سلول ها از شوک اسموتیک به آنها مقدار 5 ml RPMI-1640+FBS ۵% اضافه نموده و بعد از قرار دادن سوسپانسیون به مدت نیم ساعت در یخچال ۴ درجه سانتی گراد و جدا نمودن سلول ها از توده بافتی، دو بار در PBS سرد و دور 300 g و دمای ۴ درجه سانتی گراد شستشو داده شد. سپس در محیط کشت کامل سوسپانسیون شده و یک

غلظت ۵ میکروگرم در میلی لیتر در پلیت‌های الیزا ریخته شد. پلیت‌ها به مدت یک شب در دمای ۳۷ درجه گراد انکوبه شدند تا آنتی ژن به کف پلیت کوت شود. پلیت‌ها یک بار با بافر شستشو، شستشو داده شدند و سپس ۳۰۰ میکرولیتر بافر بلاک کننده به حفرات ریخته شد و پلیت‌ها برای یک ساعت در ۳۷ درجه سانتی گراد انکوبه شدند. پلیت‌ها یک بار با بافر شستشو، شستشو داده شدند و به خوبی روی روزنامه کوبیده شدند، تا هیچ بافری داخل حفرات باقی نماند. سرم‌ها به نسبت ۱۰۰۰ برابر با بافر رقیق کننده رقیق شدند. به حفرات مقدار ۱۰۰۰ میکرولیتر از سرم رقیق شده ریخته شد و پلیت‌ها ۲ ساعت در ۳۷ درجه انکوبه شدند. پلیت‌ها ۵ مرتبه و هر بار با ۳۰۰ میکرولیتر بافر شستشو برای مدت ۳-۵ دقیقه شستشو شدند. آنتی‌ایزوتابیپهای IgG1، IgG2a، IgG2b و IgM که همگی از منبع Goat بودند را ۱/۱۰۰۰ در بافر رقیق کننده رقیق نموده و به حفرات مربوطه ۱۰۰ میکرولیتر اضافه گردید و پلیت‌ها ۱ ساعت در دمای ۳۷ درجه انکوبه شدند. پلیت‌ها ۵ مرتبه و هر بار با ۳۰۰ میکرولیتر بافر شستشو برای مدت ۳-۵ دقیقه شستشو شدند. در مرحله بعد Rabbit anti goat HRP conjugate را به نسبت ۱/۱۰۰۰ در بافر رقیق کننده رقیق نموده و ۱۰۰ میکرولیتر به تمامی حفرات اضافه گردید و پلیت‌ها ۱ ساعت در ۳۷ درجه انکوبه شدند. پلیت‌ها ۵ مرتبه و هر بار با ۳۰۰ میکرولیتر بافر شستشو برای مدت ۳-۵ دقیقه شستشو شدند. به هر حفره ۱۰۰ میکرولیتر سویسترای TMB ریخته شد و پلیت‌ها ۳۰ دقیقه در ۳۷ درجه انکوبه شدند. برای متوقف نمودن واکنش به حفرات ۱۰۰ میکرولیتر اسید سولفوریک ۲ نرمال ریخته شد. پلیت‌ها بلافاصله در طول موج ۴۵ نانومتر قرائت شدند.

آنالیز آماری داده‌ها

از تمامی داده میانگین به دست آورده شد و سپس از میانگین‌های به دست آمده در آنالیز آماری استفاده گردید. برای مقایسه میانگین نمونه‌ها از t-test و Anova با استفاده از نرم افزار SPSS نسخه ۱۸ استفاده شد، حدود اطمینان ۹۵٪ در نظر گرفته شد و P کمتر از ۰/۰۵ معنی‌دار بود.

یافته‌ها

اثر AJc-F بر سطح سیتوکین‌های IL-4 و IFN-γ

بررسی اثر AJc-F بر سیتوکین‌ها نشان داد که این نانوکمپلکس اینترفرون گاما را نسبت به گروه کنترل به شکل معنی‌دار و معادل ۱۰۵٪ افزایش داد (شکل ۱).

دو اپندوروف ۱/۵ میلی لیتری انتقال داده شد و تا زمان انجام تست در دمای ۷۰- درجه سانتی گراد نگهداری شد. تست الیزا برای سنجش میزان سایتوکاین‌های مذکور با استفاده از کیت‌های تجاری اختصاصی اندازه گیری IFN-γ و IL-4 موشی (R&D) انجام شد. با توجه به منحنی استاندارد حاصل از OD چاهک‌های استاندارد، میزان IL-4 و IFN-γ مربوط به نمونه‌های مورد آزمایش محاسبه گردید.

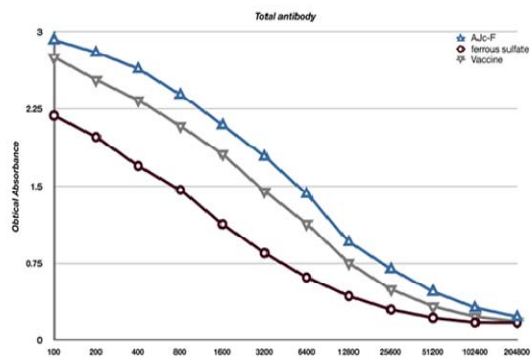
بررسی پاسخ‌های همورال

به منظور بررسی سطح آنتی بادی، تست الیزا بر روی تمامی نمونه‌های سرم انجام گردید. سرم‌های هر مرحله از آزمایش جمع آوری شده و در ۷۰- درجه سانتی گراد نگهداری شدند و پس از اتمام جمع آوری سرم‌ها در این مطالعه، از نظر پاسخ‌های آنتی بادی مورد بررسی قرار گرفتند.

(الف) بررسی سطح کلی آنتی بادی اختصاصی ضد HBSAg: مقدار ۱۰۰ میکرولیتر از آنتی ژن با غلظت ۵ میکروگرم در میلی لیتر کوت شد. پلیت‌ها به مدت یک شب در دمای ۴ درجه سانتی گراد انکوبه شدند تا آنتی ژن به کف پلیت کوت شود. پلیت‌ها یکبار با بافر شستشو، شستشو داده شدند و سپس ۳۰۰ میکرولیتر بافر بلاک کننده به حفرات ریخته شد و پلیت‌ها برای یک ساعت در ۳۷ درجه انکوبه شدند. پلیت‌ها یکبار با بافر شستشو، شستشو داده شدند و به خوبی روی کاغذ کوبیده شدند. در مرحله بعد، جهت تهیه سرم‌ها در ۱۲ رقت به نسبت (۱۰۰۰، ۲۰۰۰، ۳۲۰۰، ۴۰۰۰، ۴۸۰۰، ۵۶۰۰، ۶۴۰۰، ۷۲۰۰، ۸۰۰۰، ۱۶۰۰۰، ۲۴۰۰۰، ۳۲۰۰۰، ۴۰۰۰۰، ۴۸۰۰۰، ۵۶۰۰۰، ۶۴۰۰۰، ۷۲۰۰۰، ۸۰۰۰۰، ۹۶۰۰۰، ۱۰۴۰۰۰، ۱۲۸۰۰۰، ۱۴۴۰۰۰، ۱۶۰۰۰۰، ۱۷۶۰۰۰، ۱۹۲۰۰۰، ۲۰۸۰۰۰، ۲۲۴۰۰۰، ۲۴۰۰۰۰، ۲۵۶۰۰۰، ۲۷۲۰۰۰، ۲۸۸۰۰۰، ۳۰۴۸۰۰۰، ۳۲۰۴۰۰۰، ۳۴۰۸۰۰۰، ۳۶۰۴۰۰۰، ۳۸۰۸۰۰۰، ۴۰۰۸۰۰۰، ۴۲۰۸۰۰۰، ۴۴۰۸۰۰۰، ۴۶۰۸۰۰۰، ۴۸۰۸۰۰۰، ۵۰۰۸۰۰۰، ۵۲۰۸۰۰۰، ۵۴۰۸۰۰۰، ۵۶۰۸۰۰۰، ۵۸۰۸۰۰۰، ۶۰۰۸۰۰۰، ۶۲۰۸۰۰۰، ۶۴۰۸۰۰۰، ۶۶۰۸۰۰۰، ۶۸۰۸۰۰۰، ۷۰۰۸۰۰۰، ۷۲۰۸۰۰۰، ۷۴۰۸۰۰۰، ۷۶۰۸۰۰۰، ۷۸۰۸۰۰۰، ۸۰۰۸۰۰۰، ۸۲۰۸۰۰۰، ۸۴۰۸۰۰۰، ۸۶۰۸۰۰۰، ۸۸۰۸۰۰۰، ۹۰۰۸۰۰۰، ۹۲۰۸۰۰۰، ۹۴۰۸۰۰۰، ۹۶۰۸۰۰۰، ۹۸۰۸۰۰۰، ۱۰۰۰۸۰۰۰، ۱۰۲۰۸۰۰۰، ۱۰۴۰۸۰۰۰، ۱۰۶۰۸۰۰۰، ۱۰۸۰۸۰۰۰، ۱۱۰۰۸۰۰۰، ۱۱۲۰۸۰۰۰، ۱۱۴۰۸۰۰۰، ۱۱۶۰۸۰۰۰، ۱۱۸۰۸۰۰۰، ۱۲۰۰۸۰۰۰، ۱۲۲۰۸۰۰۰، ۱۲۴۰۸۰۰۰، ۱۲۶۰۸۰۰۰، ۱۲۸۰۸۰۰۰، ۱۳۰۰۸۰۰۰، ۱۳۲۰۸۰۰۰، ۱۳۴۰۸۰۰۰، ۱۳۶۰۸۰۰۰، ۱۳۸۰۸۰۰۰، ۱۴۰۰۸۰۰۰، ۱۴۲۰۸۰۰۰، ۱۴۴۰۸۰۰۰، ۱۴۶۰۸۰۰۰، ۱۴۸۰۸۰۰۰، ۱۵۰۰۸۰۰۰، ۱۵۲۰۸۰۰۰، ۱۵۴۰۸۰۰۰، ۱۵۶۰۸۰۰۰، ۱۵۸۰۸۰۰۰، ۱۶۰۰۸۰۰۰، ۱۶۲۰۸۰۰۰، ۱۶۴۰۸۰۰۰، ۱۶۶۰۸۰۰۰، ۱۶۸۰۸۰۰۰، ۱۷۰۰۸۰۰۰، ۱۷۲۰۸۰۰۰، ۱۷۴۰۸۰۰۰، ۱۷۶۰۸۰۰۰، ۱۷۸۰۸۰۰۰، ۱۸۰۰۸۰۰۰، ۱۸۲۰۸۰۰۰، ۱۸۴۰۸۰۰۰، ۱۸۶۰۸۰۰۰، ۱۸۸۰۸۰۰۰، ۱۹۰۰۸۰۰۰، ۱۹۲۰۸۰۰۰، ۱۹۴۰۸۰۰۰، ۱۹۶۰۸۰۰۰، ۱۹۸۰۸۰۰۰، ۲۰۰۰۸۰۰۰، ۲۰۲۰۸۰۰۰، ۲۰۴۰۸۰۰۰، ۲۰۶۰۸۰۰۰، ۲۰۸۰۸۰۰۰، ۲۱۰۰۸۰۰۰، ۲۱۲۰۸۰۰۰، ۲۱۴۰۸۰۰۰، ۲۱۶۰۸۰۰۰، ۲۱۸۰۸۰۰۰، ۲۲۰۰۸۰۰۰، ۲۲۲۰۸۰۰۰، ۲۲۴۰۸۰۰۰، ۲۲۶۰۸۰۰۰، ۲۲۸۰۸۰۰۰، ۲۳۰۰۸۰۰۰، ۲۳۲۰۸۰۰۰، ۲۳۴۰۸۰۰۰، ۲۳۶۰۸۰۰۰، ۲۳۸۰۸۰۰۰، ۲۴۰۰۸۰۰۰، ۲۴۲۰۸۰۰۰، ۲۴۴۰۸۰۰۰، ۲۴۶۰۸۰۰۰، ۲۴۸۰۸۰۰۰، ۲۵۰۰۸۰۰۰، ۲۵۲۰۸۰۰۰، ۲۵۴۰۸۰۰۰، ۲۵۶۰۸۰۰۰، ۲۵۸۰۸۰۰۰، ۲۶۰۰۸۰۰۰، ۲۶۲۰۸۰۰۰، ۲۶۴۰۸۰۰۰، ۲۶۶۰۸۰۰۰، ۲۶۸۰۸۰۰۰، ۲۷۰۰۸۰۰۰، ۲۷۲۰۸۰۰۰، ۲۷۴۰۸۰۰۰، ۲۷۶۰۸۰۰۰، ۲۷۸۰۸۰۰۰، ۲۸۰۰۸۰۰۰، ۲۸۲۰۸۰۰۰، ۲۸۴۰۸۰۰۰، ۲۸۶۰۸۰۰۰، ۲۸۸۰۸۰۰۰، ۲۹۰۰۸۰۰۰، ۲۹۲۰۸۰۰۰، ۲۹۴۰۸۰۰۰، ۲۹۶۰۸۰۰۰، ۲۹۸۰۸۰۰۰، ۳۰۰۰۸۰۰۰، ۳۰۲۰۸۰۰۰، ۳۰۴۰۸۰۰۰، ۳۰۶۰۸۰۰۰، ۳۰۸۰۸۰۰۰، ۳۱۰۰۸۰۰۰، ۳۱۲۰۸۰۰۰، ۳۱۴۰۸۰۰۰، ۳۱۶۰۸۰۰۰، ۳۱۸۰۸۰۰۰، ۳۲۰۰۸۰۰۰، ۳۲۲۰۸۰۰۰، ۳۲۴۰۸۰۰۰، ۳۲۶۰۸۰۰۰، ۳۲۸۰۸۰۰۰، ۳۳۰۰۸۰۰۰، ۳۳۲۰۸۰۰۰، ۳۳۴۰۸۰۰۰، ۳۳۶۰۸۰۰۰، ۳۳۸۰۸۰۰۰، ۳۴۰۰۸۰۰۰، ۳۴۲۰۸۰۰۰، ۳۴۴۰۸۰۰۰، ۳۴۶۰۸۰۰۰، ۳۴۸۰۸۰۰۰، ۳۵۰۰۸۰۰۰، ۳۵۲۰۸۰۰۰، ۳۵۴۰۸۰۰۰، ۳۵۶۰۸۰۰۰، ۳۵۸۰۸۰۰۰، ۳۶۰۰۸۰۰۰، ۳۶۲۰۸۰۰۰، ۳۶۴۰۸۰۰۰، ۳۶۶۰۸۰۰۰، ۳۶۸۰۸۰۰۰، ۳۷۰۰۸۰۰۰، ۳۷۲۰۸۰۰۰، ۳۷۴۰۸۰۰۰، ۳۷۶۰۸۰۰۰، ۳۷۸۰۸۰۰۰، ۳۸۰۰۸۰۰۰، ۳۸۲۰۸۰۰۰، ۳۸۴۰۸۰۰۰، ۳۸۶۰۸۰۰۰، ۳۸۸۰۸۰۰۰، ۳۹۰۰۸۰۰۰، ۳۹۲۰۸۰۰۰، ۳۹۴۰۸۰۰۰، ۳۹۶۰۸۰۰۰، ۳۹۸۰۸۰۰۰، ۴۰۰۰۸۰۰۰، ۴۰۲۰۸۰۰۰، ۴۰۴۰۸۰۰۰، ۴۰۶۰۸۰۰۰، ۴۰۸۰۸۰۰۰، ۴۱۰۰۸۰۰۰، ۴۱۲۰۸۰۰۰، ۴۱۴۰۸۰۰۰، ۴۱۶۰۸۰۰۰، ۴۱۸۰۸۰۰۰، ۴۲۰۰۸۰۰۰، ۴۲۲۰۸۰۰۰، ۴۲۴۰۸۰۰۰، ۴۲۶۰۸۰۰۰، ۴۲۸۰۸۰۰۰، ۴۳۰۰۸۰۰۰، ۴۳۲۰۸۰۰۰، ۴۳۴۰۸۰۰۰، ۴۳۶۰۸۰۰۰، ۴۳۸۰۸۰۰۰، ۴۴۰۰۸۰۰۰، ۴۴۲۰۸۰۰۰، ۴۴۴۰۸۰۰۰، ۴۴۶۰۸۰۰۰، ۴۴۸۰۸۰۰۰، ۴۵۰۰۸۰۰۰، ۴۵۲۰۸۰۰۰، ۴۵۴۰۸۰۰۰، ۴۵۶۰۸۰۰۰، ۴۵۸۰۸۰۰۰، ۴۶۰۰۸۰۰۰، ۴۶۲۰۸۰۰۰، ۴۶۴۰۸۰۰۰، ۴۶۶۰۸۰۰۰، ۴۶۸۰۸۰۰۰، ۴۷۰۰۸۰۰۰، ۴۷۲۰۸۰۰۰، ۴۷۴۰۸۰۰۰، ۴۷۶۰۸۰۰۰، ۴۷۸۰۸۰۰۰، ۴۸۰۰۸۰۰۰، ۴۸۲۰۸۰۰۰، ۴۸۴۰۸۰۰۰، ۴۸۶۰۸۰۰۰، ۴۸۸۰۸۰۰۰، ۴۹۰۰۸۰۰۰، ۴۹۲۰۸۰۰۰، ۴۹۴۰۸۰۰۰، ۴۹۶۰۸۰۰۰، ۴۹۸۰۸۰۰۰، ۵۰۰۰۸۰۰۰، ۵۰۲۰۸۰۰۰، ۵۰۴۰۸۰۰۰، ۵۰۶۰۸۰۰۰، ۵۰۸۰۸۰۰۰، ۵۱۰۰۸۰۰۰، ۵۱۲۰۸۰۰۰، ۵۱۴۰۸۰۰۰، ۵۱۶۰۸۰۰۰، ۵۱۸۰۸۰۰۰، ۵۲۰۰۸۰۰۰، ۵۲۲۰۸۰۰۰، ۵۲۴۰۸۰۰۰، ۵۲۶۰۸۰۰۰، ۵۲۸۰۸۰۰۰، ۵۳۰۰۸۰۰۰، ۵۳۲۰۸۰۰۰، ۵۳۴۰۸۰۰۰، ۵۳۶۰۸۰۰۰، ۵۳۸۰۸۰۰۰، ۵۴۰۰۸۰۰۰، ۵۴۲۰۸۰۰۰، ۵۴۴۰۸۰۰۰، ۵۴۶۰۸۰۰۰، ۵۴۸۰۸۰۰۰، ۵۵۰۰۸۰۰۰، ۵۵۲۰۸۰۰۰، ۵۵۴۰۸۰۰۰، ۵۵۶۰۸۰۰۰، ۵۵۸۰۸۰۰۰، ۵۶۰۰۸۰۰۰، ۵۶۲۰۸۰۰۰، ۵۶۴۰۸۰۰۰، ۵۶۶۰۸۰۰۰، ۵۶۸۰۸۰۰۰، ۵۷۰۰۸۰۰۰، ۵۷۲۰۸۰۰۰، ۵۷۴۰۸۰۰۰، ۵۷۶۰۸۰۰۰، ۵۷۸۰۸۰۰۰، ۵۸۰۰۸۰۰۰، ۵۸۲۰۸۰۰۰، ۵۸۴۰۸۰۰۰، ۵۸۶۰۸۰۰۰، ۵۸۸۰۸۰۰۰، ۵۹۰۰۸۰۰۰، ۵۹۲۰۸۰۰۰، ۵۹۴۰۸۰۰۰، ۵۹۶۰۸۰۰۰، ۵۹۸۰۸۰۰۰، ۶۰۰۰۸۰۰۰، ۶۰۲۰۸۰۰۰، ۶۰۴۰۸۰۰۰، ۶۰۶۰۸۰۰۰، ۶۰۸۰۸۰۰۰، ۶۱۰۰۸۰۰۰، ۶۱۲۰۸۰۰۰، ۶۱۴۰۸۰۰۰، ۶۱۶۰۸۰۰۰، ۶۱۸۰۸۰۰۰، ۶۲۰۰۸۰۰۰، ۶۲۲۰۸۰۰۰، ۶۲۴۰۸۰۰۰، ۶۲۶۰۸۰۰۰، ۶۲۸۰۸۰۰۰، ۶۳۰۰۸۰۰۰، ۶۳۲۰۸۰۰۰، ۶۳۴۰۸۰۰۰، ۶۳۶۰۸۰۰۰، ۶۳۸۰۸۰۰۰، ۶۴۰۰۸۰۰۰، ۶۴۲۰۸۰۰۰، ۶۴۴۰۸۰۰۰، ۶۴۶۰۸۰۰۰، ۶۴۸۰۸۰۰۰، ۶۵۰۰۸۰۰۰، ۶۵۲۰۸۰۰۰، ۶۵۴۰۸۰۰۰، ۶۵۶۰۸۰۰۰، ۶۵۸۰۸۰۰۰، ۶۶۰۰۸۰۰۰، ۶۶۲۰۸۰۰۰، ۶۶۴۰۸۰۰۰، ۶۶۶۰۸۰۰۰، ۶۶۸۰۸۰۰۰، ۶۷۰۰۸۰۰۰، ۶۷۲۰۸۰۰۰، ۶۷۴۰۸۰۰۰، ۶۷۶۰۸۰۰۰، ۶۷۸۰۸۰۰۰، ۶۸۰۰۸۰۰۰، ۶۸۲۰۸۰۰۰، ۶۸۴۰۸۰۰۰، ۶۸۶۰۸۰۰۰، ۶۸۸۰۸۰۰۰، ۶۹۰۰۸۰۰۰، ۶۹۲۰۸۰۰۰، ۶۹۴۰۸۰۰۰، ۶۹۶۰۸۰۰۰، ۶۹۸۰۸۰۰۰، ۷۰۰۰۸۰۰۰، ۷۰۲۰۸۰۰۰، ۷۰۴۰۸۰۰۰، ۷۰۶۰۸۰۰۰، ۷۰۸۰۸۰۰۰، ۷۱۰۰۸۰۰۰، ۷۱۲۰۸۰۰۰، ۷۱۴۰۸۰۰۰، ۷۱۶۰۸۰۰۰، ۷۱۸۰۸۰۰۰، ۷۲۰۰۸۰۰۰، ۷۲۲۰۸۰۰۰، ۷۲۴۰۸۰۰۰، ۷۲۶۰۸۰۰۰، ۷۲۸۰۸۰۰۰، ۷۳۰۰۸۰۰۰، ۷۳۲۰۸۰۰۰، ۷۳۴۰۸۰۰۰، ۷۳۶۰۸۰۰۰، ۷۳۸۰۸۰۰۰، ۷۴۰۰۸۰۰۰، ۷۴۲۰۸۰۰۰، ۷۴۴۰۸۰۰۰، ۷۴۶۰۸۰۰۰، ۷۴۸۰۸۰۰۰، ۷۵۰۰۸۰۰۰، ۷۵۲۰۸۰۰۰، ۷۵۴۰۸۰۰۰، ۷۵۶۰۸۰۰۰، ۷۵۸۰۸۰۰۰، ۷۶۰۰۸۰۰۰، ۷۶۲۰۸۰۰۰، ۷۶۴۰۸۰۰۰، ۷۶۶۰۸۰۰۰، ۷۶۸۰۸۰۰۰، ۷۷۰۰۸۰۰۰، ۷۷۲۰۸۰۰۰، ۷۷۴۰۸۰۰۰، ۷۷۶۰۸۰۰۰، ۷۷۸۰۸۰۰۰، ۷۸۰۰۸۰۰۰، ۷۸۲۰۸۰۰۰، ۷۸۴۰۸۰۰۰، ۷۸۶۰۸۰۰۰، ۷۸۸۰۸۰۰۰، ۷۹۰۰۸۰۰۰، ۷۹۲۰۸۰۰۰، ۷۹۴۰۸۰۰۰، ۷۹۶۰۸۰۰۰، ۷۹۸۰۸۰۰۰، ۷۱۰۰۸۰۰۰، ۷۱۲۰۸۰۰۰، ۷۱۴۰۸۰۰۰، ۷۱۶۰۸۰۰۰، ۷۱۸۰۸۰۰۰، ۷۲۰۰۸۰۰۰، ۷۲۲۰۸۰۰۰، ۷۲۴۰۸۰۰۰، ۷۲۶۰۸۰۰۰، ۷۲۸۰۸۰۰۰، ۷۳۰۰۸۰۰۰، ۷۳۲۰۸۰۰۰، ۷۳۴۰۸۰۰۰، ۷۳۶۰۸۰۰۰، ۷۳۸۰۸۰۰۰، ۷۴۰۰۸۰۰۰، ۷۴۲۰۸۰۰۰، ۷۴۴۰۸۰۰۰، ۷۴۶۰۸۰۰۰، ۷۴۸۰۸۰۰۰، ۷۵۰۰۸۰۰۰، ۷۵۲۰۸۰۰۰، ۷۵۴۰۸۰۰۰، ۷۵۶۰۸۰۰۰، ۷۵۸۰۸۰۰۰، ۷۶۰۰۸۰۰۰، ۷۶۲۰۸۰۰۰، ۷۶۴۰۸۰۰۰، ۷۶۶۰۸۰۰۰، ۷۶۸۰۸۰۰۰، ۷۷۰۰۸۰۰۰، ۷۷۲۰۸۰۰۰، ۷۷۴۰۸۰۰۰، ۷۷۶۰۸۰۰۰، ۷۷۸۰۸۰۰۰، ۷۸۰۰۸۰۰۰، ۷۸۲۰۸۰۰۰، ۷۸۴۰۸۰۰۰، ۷۸۶۰۸۰۰۰، ۷۸۸۰۸۰۰۰، ۷۹۰۰۸۰۰۰، ۷۹۲۰۸۰۰۰، ۷۹۴۰۸۰۰۰، ۷۹۶۰۸۰۰۰، ۷۹۸۰۸۰۰۰، ۷۱۰۰۸۰۰۰، ۷۱۲۰۸۰۰۰، ۷۱۴۰۸۰۰۰، ۷۱۶۰۸۰۰۰، ۷۱۸۰۸۰۰۰، ۷۲۰۰۸۰۰۰، ۷۲۲۰۸۰۰۰، ۷۲۴۰۸۰۰۰، ۷۲۶۰۸۰۰۰، ۷۲۸۰۸۰۰۰، ۷۳۰۰۸۰۰۰، ۷۳۲۰۸۰۰۰، ۷۳۴۰۸۰۰۰، ۷۳۶۰۸۰۰۰، ۷۳۸۰۸۰۰۰، ۷۴۰۰۸۰۰۰، ۷۴۲۰۸۰۰۰، ۷۴۴۰۸۰۰۰، ۷۴۶۰۸۰۰۰، ۷۴۸۰۸۰۰۰، ۷۵۰۰۸۰۰۰، ۷۵۲۰۸۰۰۰، ۷۵۴۰۸۰۰۰، ۷۵۶۰۸۰۰۰، ۷۵۸۰۸۰۰۰، ۷۶۰۰۸۰۰۰، ۷۶۲۰۸۰۰۰، ۷۶۴۰۸۰۰۰، ۷۶۶۰۸۰۰۰، ۷۶۸۰۸۰۰۰، ۷۷۰۰۸۰۰۰، ۷۷۲۰۸۰۰۰، ۷۷۴۰۸۰۰۰، ۷۷۶۰۸۰۰۰، ۷۷۸۰۸۰۰۰، ۷۸۰۰۸۰۰۰، ۷۸۲۰۸۰۰۰، ۷۸۴۰۸۰۰۰، ۷۸۶۰۸۰۰۰، ۷۸۸۰۸۰۰۰، ۷۹۰۰۸۰۰۰، ۷۹۲۰۸۰۰۰، ۷۹۴۰۸۰۰۰، ۷۹۶۰۸۰۰۰، ۷۹۸۰۸۰۰۰، ۷۱۰۰۸۰۰۰، ۷۱۲۰۸۰۰۰، ۷۱۴۰۸۰۰۰، ۷۱۶۰۸۰۰۰، ۷۱۸۰۸۰۰۰، ۷۲۰۰۸۰۰۰، ۷۲۲۰۸۰۰۰، ۷۲۴۰۸۰۰۰، ۷۲۶۰۸۰۰۰، ۷۲۸۰۸۰۰۰، ۷۳۰۰۸۰۰۰، ۷۳۲۰۸۰۰۰، ۷۳۴۰۸۰۰۰

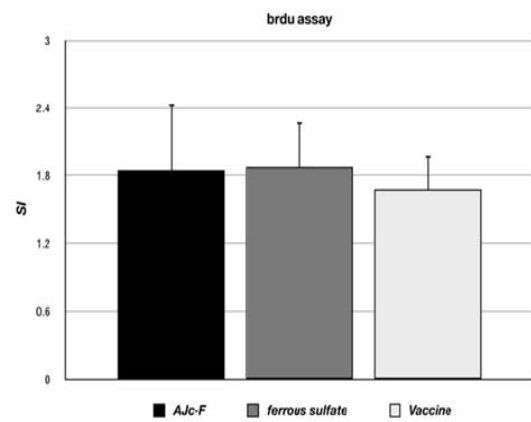
کارایی نانوکمپلکس AJc-F در ایمنی‌زایی واکسن هپاتیت ب

تقویتی بر این بخش مهم از سیستم ایمنی نگذاشت، بلکه آن را تضعیف نمود (شکل ۳).



شکل ۳- اثر نانوکمپلکس AJc-F بر ایمنی هومورال در مقایسه با سولفات آهن و گروه کنترل

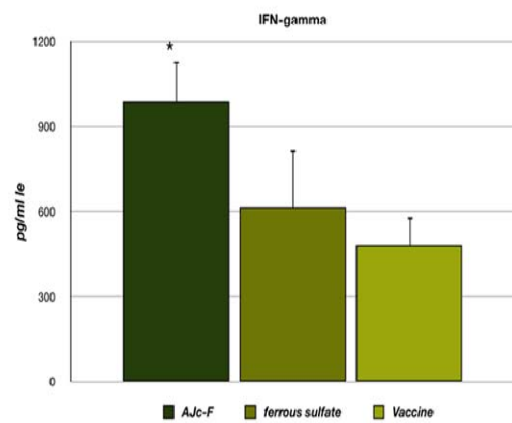
اثر نانوکمپلکس‌های کلاته بر تکثیر لنفوسيت‌ها
بررسی اثر نانوکمپلکس AJc-F بر تکثیر سلول‌های طحالی نشان داد که این نانوادجوانات اثر افزایشی‌ده بر تکثیر لنفوسيتی دارد. سلول‌های طحالی موش‌های تیمار شده با AJc-F ۱۰٪ بیشتر از سلول‌های جدا شده از موش‌های گروه کنترل تکثیر نشان دادند. تیمار با سولفات آهن نیز موجب افزایش ۱۳ درصدی تکثیر شد. البته افزایش پاسخ‌های تکثیری دیده شده در پارامتر BRDU در هیچ یک از تیمارها معنی‌دار نبود (شکل ۴).



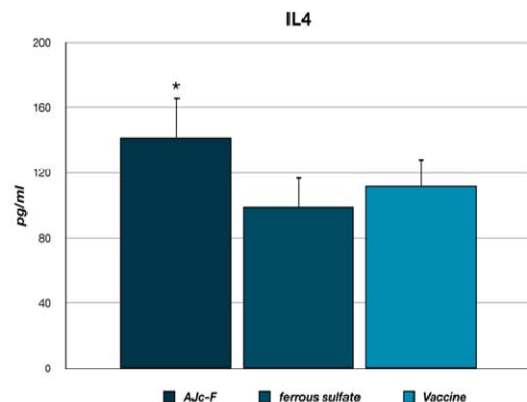
شکل ۴- اثر نانوکمپلکس AJc-F بر تکثیر لنفوسيت‌های جدا شده از طحال در مقایسه با سولفات آهن و گروه کنترل

بحث
بررسی‌ها نشان می‌دهد که بر اساس گزارش سازمان بهداشت جهانی حدود دو میلیارد نفر در سراسر جهان با ویروس هپاتیت آلوهاند و ۶۰۰ هزار نفر هر ساله در اثر هپاتیت ب می‌میرند. مطالعات انجام شده نشان می‌دهد که در ایران نیز

موجب افزایش معنی‌داری معادل ۲۶٪ در اینترلوکین ۴ نسبت به گروه کنترل گردید. سولفات آهن موجب افزایش ۲۷ درصدی در اینترلوکین ۴ گردید که هیچ یک معنی‌دار نبودند (شکل ۲). در گروه‌های تیمار شده با نانوکمپلکس و یا سولفات آهن نسبت اینترلوکون گاما به اینترلوکین ۴ بزرگ‌تر از یک بود.



شکل ۱- اثر نانوکمپلکس AJc-F بر اینترلوکون گاما در مقایسه با سولفات آهن و گروه کنترل



شکل ۲- اثر نانوکمپلکس AJc-F بر اینترلوکین ۴ در مقایسه با سولفات آهن و گروه کنترل

اثر AJc-F بر پاسخ آنتی‌بادی
یافته‌های پژوهش نشان داد که نانوادجوانات AJc-F سطح کلی آنتی‌بادی اختصاصی ضد Ag HBS را به شکل قابل توجهی افزایش داده است. در حالی که در موش‌های تیمار شده با سولفات آهن این پارامتر سرکوب شد و به شدت نسبت به گروه واکسن کاهش نشان داد. بنابراین نانوکمپلکس در رفتاری بسیار کارا، ایمنی هومورال را نسبت به گروه واکسن افزایش داد، در حالی که سولفات آهن نه تنها هیچ گونه اثر

تکثیر سلول به اثبات رسیده است، به گونه‌ای که در مطالعات مربوط به سلطان برخی از عوامل شیمی درمانی از طریق اثرگذاری بر متابولیسم این عنصر و حذف دسترسی سلول سلطانی به آهن مانع تکثیر می‌گردد (۱۴).

اینترفرون گاما سایتوکین آنتی‌ویرالی است که عدم تولید کافی آن در افراد غیر پاسخگو به واکسن هپاتیت و نیز مبتلایان به عفونت این ویروس نیز دیده شده است (۱۵). یافته‌های پژوهشی این مطالعه، رفتار متفاوت نانوکمپلکس AJc-F با سولفات‌آهن در افزایش اینترفرون گاما را نشان می‌دهد. در حقیقت در شرایطی که سولفات‌آهن افزایشی معادل ۰.۲۷٪ در این سایتوکین مهم آنتی‌ویرال ایجاد کرد، اما AJc-F، اینترفرون گاما را ۱۰.۵٪ نسبت به گروه کنترل افزایش داد. با توجه به اهمیت ارتقای پاسخ ایمنی از نوع TH-1 در پاسخ‌دهی به واکسن هپاتیت ب، افزایش چشمگیر دیده شده در این سایتوکین در کنار اثرات افزاینده بر ایمنی هومورال بسیار ارزشمند است. در حالی که در شرایط مشابه سولفات‌آهن علی‌رغم افزایش اینترفرون گاما موجب سرکوب ایمنی هومورال گردیده است. با توجه به عدم میزان موثر آنتی‌بادی در جمعیت‌های non responder ایجاد چنین پاسخی از این ادجوانات جدید اهمیت بالایی دارد. به خصوص که در رفتاری هوشمند سایر شاخصه‌های مهم ایمنی‌زایی نیز به واسطه آن افزایش یافته است.

افزایش صرف در سیتوکین اینترفرون گاما و نیز پاسخ تکثیری ایجاد شده به واسطه سولفات‌آهن در مطالعه حاضر نمی‌تواند سولفات‌آهن را به عنوان ادجوانات مناسبی برای واکسن معرفی کند. چرا که سطح آنتی‌بادی به عنوان شاخصه مهم پاسخ ایمنی هومورال توسط این ترکیب به شدت در مقایسه با گروه کنترل کاهش یافته است. علاوه بر این، در بررسی‌های انجام شده روی بیماران دیالیزی مشاهده شده است که تزریق وریدی آهن در قالب مکمل‌های موجود به شدت روی پاسخدهی به واکسن هپاتیت ب اثر منفی می‌گذارد (۱۶).

بر اساس بررسی حاضر، افزایش اینترفرون گاما، اینترلوکین ۴، تکثیر لنفوسيتی و سطح کلی آنتی‌بادی نتایج به دست آمده از به کار بردن نانوکمپلکس AJc-F در فرمولاسیون واکسن هپاتیت ب است. با توجه به این مطالعه به نظر می‌رسد نانوادجوانات AJc-F واحد ویژگی‌های لازم برای یک ادجوانات ایده‌آل می‌باشد. ساختار هیدروکربنی این نانوکمپلکس آن را biodegradable می‌سازد. از این رو، AJc-F کاندیدای خوبی برای معرفی به عنوان یک ادجوانات جدید جهت بررسی‌های تکمیلی به جهت استفاده در واکسن هپاتیت ب می‌باشد.

میزان عفونت مخفی این بیماری بین ۰/۱۵ تا ۱/۵ درصد متغیر است (۷). این ویروس ۵۰ تا ۱۰۰ بار عفونت‌زاتر از ویروس HIV است (۸). با پیدایش جمعیت افراد غیر پاسخگو در مقابل واکسن هپاتیت ب و نیز نیاز به درمان‌های جدید برای افراد آلوده به این ویروس، ساخت واکسن‌های با فرمولاسیون بهینه‌تر و موثرتر در تحریک پاسخ‌های ایمنی برای کنترل عفونت‌زایی مهلهک این ویروس ضروری به نظر می‌رسد. واضح است که واکسن هپاتیت ب محتوى ادجوانات کلاسیک آلوم، قادر است پاسخ‌های آنتی‌بادی را به خوبی تحریک نماید، اما نمی‌تواند الگوی پاسخ‌های Th1 را تحریک نماید. به همین دلیل واکسن‌های محتوى آلوم نه تنها کارایی مناسبی برای پیشگیری قطعی از بیماری هپاتیت ب را ندارند (وجود جمعیت‌های غیر پاسخگو)، بلکه عمالاً در افراد آلوده به ویروس فاقد کارایی هستند. بررسی‌های گوناگونی اثرات ساختارهای دارای قابلیت کلات کنندگی را بر سیستم ایمنی مورد بررسی قرار داده‌اند که در مجموع نشان دهنده اثر ادجواناتی و تعديل کنندگی سیستم ایمنی توسط ترکیبات دارای ویژگی chelating می‌باشد. Doerr و همکارانش اثیر یک کلات کننده فلزی با نام EDDS را بر humancytomegalovirus مورد بررسی قرار دادند و نشان دادند که این کلات کننده به خوبی قادر به تنظیم پاسخ‌های التهابی ضد ویروس است (۹). در تحقیق دیگری که توسط Cinatl و همکارانش انجام گرفت، خواص تعديل کنندگی سیستم ایمنی به واسطه دو کلات کننده دیگر با نام دسفارال (کلات کننده معروف آهن که در رفع اضافه بار بیماران تالاسمی استفاده می‌شود) و DTPA در محیط in vitro مورد بررسی قرار گرفت و نشان داده شد که این دو کلات کننده دارای اثرات تنظیمی روی سیستم ایمنی ضد سایتومگالوویروس می‌باشند (۱۰). از سوی دیگر آهن عنصری ضروری برای سلول‌های زنده است و به عنوان یک کوفاکتور در ساختار بسیاری از آنزیم‌ها وجود دارد. این یون در سنتز DNA، تنفس سلولی و انتقال اکسیژن نقش دارد (۱۱). آهن در فرایند مراقبت ایمنی اهمیت محوری دارد، چرا که در رشد سلول‌های ایمنی، القاء پاسخ‌های ایمنی سلولی و فعالیت سیتوکین‌ها نقش مهمی دارد (۱۲، ۱۳). از این رو در بررسی حاضر اثر یک نانوکمپلکس کلاته محتوى آهن را بر بهبود ایمنی‌زایی واکسن هپاتیت ب مورد ارزیابی قرار دادیم.

نتایج پژوهش نشان می‌دهد که AJc-F به خوبی قادر است پاسخ‌های تکثیری لنفوسيت‌ها را در مقایسه با گروه کنترل افزایش دهد. باید توجه داشت نقش انکارناپذیر عنصر آهن در

تشکر و قدردانی

از دپارتمان ویروس شناسی انسستیتو پاستور ایران و همچنین از بخش تحقیقات و توسعه شرکت صدور احرار شرق به دلیل پشتیبانی مادی و معنوی این پژوهه تشکر و قدردانی می‌شود.

REFERENCES

1. Singh M, O'Hagan DT. Recent advances in veterinary vaccine adjuvants. *Int J Parasitol* 2003; 33: 469-78.
2. Petrovsky N, Aguilar JC. Vaccine adjuvants: current state and future trends. *Immunol Cell Biol* 2004; 82: 488-96.
3. Aguilar JC, Rodriguez EG. Vaccine adjuvants revisited. *Vaccine* 2007; 25: 3752-62.
4. Alving CR. Design and selection of vaccine adjuvants: animal models and human trials. *Vaccine* 2002; 20: S56-64.
5. Wintergerst ES, Maggini S, Hornig DH. Contribution of selected vitamins and trace elements to immune function. *Ann Nutr Metab* 2007; 51: 301-23.
6. Lukac N, Massanyi P. Effects of trace elements on the immune system. *Epidemiol Mikrobiol Imunol* 2007; 56: 3-9.
7. Saki N, Pourfatholah A, Dehghani Fard A, Mousavi S, Kazemi Arababadi M, Kiani Ghaleasrdi O. The challenges of hepatitis B in blood transfusion in Iran. *Sci J Blood Transfus Organ*. 2013; 9: 463-77.
8. Hepatitis B. Available from: <http://www.who.int/mediacentre/factsheets/fs204/en/index.htm>
9. Vogel JU, Michaelis M, Neyts J, Blaheta RA, Snoeck R, Andrei G, et al. Antiviral and immunomodulatory activity of the metal chelator ethylenediaminedisuccinic acid against cytomegalovirus in vitro and in vivo. *Antiviral Res* 2002; 55: 179-88.
10. Scholz M, Blaheta RA, Henrich D, Cinatl J, Markus BH, Doerr HW, et al. Immunomodulatory properties of the metal chelators desferrioxamine and diethylenetriamine penta-acetic acid in vitro. *Transplantation* 1996; 62: 1371-74.
11. Brock JH, Pippard MJ, Powell LW, eds. Iron metabolism in health and disease. Philadelphia, PA: Saunders Company; 1994. p. 353-91.
12. Seligman PA, Kovar J, Gelfand EW. Lymphocyte proliferation is controlled by both iron availability and regulation of iron uptake pathways. *Pathobiology* 1992; 60: 19-26.
13. de Sousa M. Immune cell functions in iron overload. *Clin Exp Immunol* 1989; 75: 1-6.
14. Chitambar CR, Wereley JP. Effect of hydroxyurea on cellular iron metabolism in human leukemic CCRF-CEM cells: changes in iron uptake and the regulation of transferrin receptor and ferritin gene expression following inhibition of DNA synthesis. *Cancer Res* 1995; 55: 4361-66.
15. Albarran B, Goncalves L, Salmen S, Borges L, Fields H, Soyano A, et al. Profiles of NK, NKT cell activation and cytokine production following vaccination against hepatitis B. *APMIS* 2005; 113: 526-35.
16. Liu JH, Liu YL, Lin HH, Yang YF, Kuo HL, Lin PW, et al. Intravenous iron attenuates postvaccination anti-HBsAg titres after quadruple hepatitis B vaccination in dialysis patients with erythropoietin therapy. *Int J Clin Pract* 2009; 63: 387-93.